



# 冶金工厂机械設備

## 炼鋼車間机械設備

347



上海冶金專科學校

1960

# 目 录

## 平炉車間机械設備

### 第一章 廢鋼鐵处理設備

- § 1-1 錘击破碎机械——落錘..... 1-1
- § 1-2 折断机..... 1-9
- § 1-3 打包机..... 1-11

### 第二章 平炉車間概述

- § 2-1 生产过程的簡述..... 2-1
- § 2-2 平炉車間布置..... 2-3

### 第三章 原料場及其机械設備

- § 3-1 原料場的类型..... 3-1
- § 3-2 原料場机械設備..... 3-4

### 第四章 混鉄炉

### 第五章 装料設備

- § 5-1 桥式装料机的型式及构造..... 5-1
- § 5-2 桥式装料机的新应用..... 5-27
- § 5-3 桥式装料机的計算..... 5-29
- § 5-4 地面式装料机的型式和构造..... 5-39
- § 5-5 三輪无軌輕便装料机..... 5-46
- § 5-6 平炉新装料方法概述及装料机的比較..... 5-48
- § 5-7 地面式装料机率計算..... 5-50

### 第六章 平炉結構及平炉附属机械

- § 6-1 平炉結構..... 6-1
- § 6-2 炉門开閉机构..... 6-9
- § 6-3 平炉換向装置..... 6-11
- § 6-4 补炉机..... 6-20
- § 6-5 平炉傾动机构..... 6-24

## 第七章 鑄錠設備

§ 7-1	鑄錠起重機	7-1
§ 7-2	盛鋼桶	7-8
§ 7-3	地澆機	7-12
§ 7-4	連續鑄錠設備	7-14

## 第八章 脫錠設備

§ 8-1	地上固定式脫錠機	8-1
§ 8-2	橋式脫錠機	8-4
§ 8-3	脫錠機計算	8-9

## 轉爐車間的機械設備

### 第九章 轉爐車間機械設備

§ 9-1	轉爐車間概述	9-1
§ 9-2	轉爐車間的生产特点及車間布置	9-2
§ 9-3	化鉄爐及其裝料機械	9-5
§ 9-4	轉爐及其傾動機構	9-10
§ 9-5	轉爐傾動力矩確定	9-19

### 第十章 電爐車間機械設備

§ 10-1	概 述	10-1
§ 10-2	爐 身	10-4
§ 10-3	密封圈	10-6
§ 10-4	電極握持器	10-8
§ 10-5	電及升降機構	10-10
§ 10-6	電爐傾動裝置	10-12
§ 10-7	裝料方式	10-14

## 第一章 廢鋼鐵處理設備

隨着國家的日益工業化，不可避免地會積累大量黑色金屬廢件。所謂廢金屬，就是冶金工廠，機械製造工廠和建築業在生產中剩下的廢料，以及加以適當的處理可用來作為冶煉原料用的廢制品，設備和鋼結構等。廢金屬也包括根據某一原因失掉直接用途的成品和半成品金屬廢件。例如：各種機器設備、金屬結構、生產工具的報廢與更新；又如冶金工廠的廢鋼錠模、鋼坯切頭、薄板切邊等，再如機械製造廠的大批切屑。

所有這些廢金屬都必須用來作為黑色冶金工業的原料。回顧一下黑色金屬的冶煉歷史，我們會記得：作為目前主要煉鋼方法的平爐煉鋼法，就是因為必須利用在十九世紀中葉以前積累下來的數量巨大的廢金屬而發明。在平爐煉鋼原料的金屬部分中，廢鋼鐵的相對消耗量是逐年增加。現在一般廢鋼鐵約佔30%，有些國家竟達到78%。

從不同來源得到的金屬廢件和廢料，它們在化學成分上，重量上和形狀大小上都是極不相同的，其所含各種雜物（如潤滑油、渣、泥砂、油漆等）的程度也是不相同的。

為了合理地利用各種廢件和廢料，必須很好地進行分類。有些廢金屬譬如在生產現場得到的某些適於用戶利用的廢料，可以直接送往用戶。

但絕大多數的廢金屬，其中有廢件和廢料，則不能就原狀不加處理地來利用。小的廢料需要壓團或打包；大的廢件根據不同情況分別送往專業車間進行破碎。

處理方法有幾種：

1. 錘擊破碎——大塊生鐵鑄件及脆性高碳鋼廢件；
2. 火焰切割——金屬結構及鋼板結構另件；
3. 剪斷——板料及型鋼軋機的廢料；
4. 折斷——不太大的廢鋼錠及鋼坯；
5. 爆破——特別重的大塊金屬，凝結塊及軋輥；
6. 打包——薄板切邊、鋼絲等；
7. 壓團——切屑。

本章將重點講述錘擊、折斷、打包設備，剪斷機械在軋鋼車間設備內已經講授；切割器與一般氣切相仿，爆破這種處理法設備較少，同時因講授時間有限，不再一一作介紹。

### §1—1 錘擊破碎機械——落錘

落錘是利用一個錘頭自由降落的動能（由位能轉變）把不合尺寸的金屬廢件破碎成合乎尺寸的平爐原料。

落錘主要用以破碎大塊的生鐵廢件和易碎的（含炭高）鋼廢件；含碳低的、柔軟的和有韌性的鋼件用落錘破碎比較困難，因為這種鋼受到沖擊力時將被揉捏，而不能形成裂



縫和不能破坏块体的完整性；当低碳鋼块体需要用落錘破碎时，須先用火焰切出沟来。在此情况下，冲击被削弱的截面就能达到破碎的目的。

要用落錘破碎的生鉄廢件(齿輪、減速箱驅体、中小型机器的机座等)，其弱面的厚度不能超过 500 毫米。适于用落錘的廢件基本上有下列几种：中等尺寸的鑄件，事先經過火焰切沟或經過爆破的大鋼块。此外还能利用落錘打碎炉渣。

落錘主要有两种类型：(1)塔式落錘；(2)吊車式落錘。

一、塔式落錘。如图1-1，它有一高达30米的金属结构塔架，塔架下正中間有一个放置廢鋼鉄的砧垫，錘头借卷揚机提升至塔頂，然后落下冲击砧垫上的廢鋼鉄；卷揚机安装在塔架旁边的卷揚室內。破碎后的成品用蒸汽吊車装入貨車运走。

塔式落錘的主要部件有：(1)錘架；(2)錘头；(3)鈎掛錘头用的持重装置；(4)錘头提升卷揚；(5)砧垫和基础；(6)防护装置。

下面敘述塔式落錘设备的几种主要部件。

1. 錘头：根据廢鋼鉄的尺寸大小和机械性能，錘头重量由 300 公斤至15吨，提升高度由10米到30米。一般冶金大型工厂都采用 6—10 吨的落錘，提升高度为20—25米。

錘头的外形，对塔式落錘要滿足两点要求：(1)把冲击力集中于一个不大的面积上，以便有效地破碎金属；(2)落下后要稳定，不翻轉。

为了滿足上述的要求，錘头作成梨形，如图1-2，錘头上部有掛环或耳，底部最好作成心形的尖端。錘头本身承受很大的冲击力，为避免产生裂纹，錘头用低碳鋼鑄成，鑄造后並需要經過一次或二次退火，以消除鑄造应力並細化鑄件的結晶組織。

鑄入錘头头部的橫杆(图1-2a)按二端插入的靜不定樑，中間受一集中載荷(包括錘头重及錘头起動时的慣性力)来进行計算。

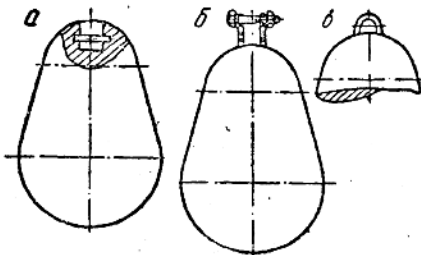


图 1-2

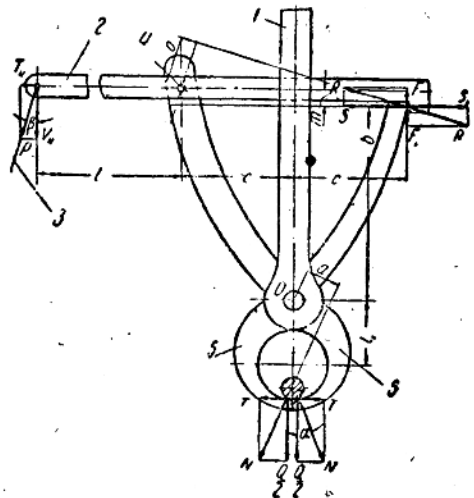


图 1-3

2. 持重装置：持重装置用来提升錘头。当提升时，它应当牢固地握住錘头，而在提

升到須要高度时，又很容易脫放錘頭。塔式落錘使用的持重裝置有兩種：(1)夾鉗；(2)彎鈎。

夾鉗的構造如圖1-3所示，兩個夾鉗5與吊杆1鉸結在O點；吊杆懸掛在鋼繩上。鋼繩通往落錘提升卷揚。鎖杆2與鉗顎之一鉸結在點4，一端有彎鈎，鈎住另一鉗顎之尾端，使鉗顎閉合鉗住錘頭的橫杆，鎖杆另一端系着鋼繩3，當放下錘頭時，拉鋼繩3鎖杆2繞點4迴轉，彎鈎即脫離鉗顎之尾端，錘頭借自重打開夾鉗而下降。

下面我們來討論夾鉗各部分上所受的作用力和脫開夾鉗牽引鋼繩3末端所需的拉力Z：(見圖1-3)。

錘頭重Q平均分配在兩個鉗顎上，每個鉗顎負擔的垂直力為 $\frac{Q}{2}$ ，由於鉗顎端點夾持錘頭處為圓弧形，錘頭橫杆與鉗顎接觸點的切綫與水平方向成 $\alpha$ 角。所以就產生兩個作用於左、右兩鉗顎上的水平推力T。每一力N是 $\frac{Q}{2}$ 和T兩力之合力等於：

$$N = \frac{Q}{2\cos\alpha}$$

式中 $\alpha$ 值為：

$$\sin\alpha = \frac{r}{R+r}$$

$r$ ——鉗顎端點的圓角半徑。

$R$ ——錘頭橫杆的半徑。

取一鉗顎為自由體，並對O點取力矩， $\Sigma M_o = 0$

$$Na\eta' = Sb + FC$$

式中： $\eta'$ ——考慮鉗顎繞O點迴轉的效率；

$a, b, c$ ——見圖。

力F是在拉開鎖杆時產生在鉗顎尾端的摩擦力，等於：

$$F = S\mu$$

式中 $\mu$ ——在靜止時的摩擦係數(0.25)。

將F代入上程式，得：

$$Na\eta' = Sb + S\mu c$$

$$Na\eta' = S(b + \mu c)$$

$$S = \frac{Na\eta'}{b + \mu c}$$

作用在鎖杆上的 $S_1, F_1, R_1$ 三力為反作用力，故其絕對值等於S、F、R但三力的方向相反。

為了張開夾鉗，須在鎖杆一端的鋼繩固定點上加一力P，力P可根據 $\Sigma M_A = 0$ 求出。

$$P\cos\beta l\eta = F_1 2c - S_1 m = S_1 2c\mu - S_1 m$$

式中：P——作用在鎖杆端鋼繩方向拉力；

$\beta$ ——鋼繩與垂直方向夾角；

$l, m, c$ ——見圖

$\eta$ ——鎖杆效率

則得:

$$P = S_1 \frac{2\mu c - m}{l\eta \cos\beta}$$

考虑到鋼繩自重的影响, 則脫开夾鉗時鋼繩末端的拉力为:

$$Z = P - gL \cos\beta$$

式中:  $g$  —— 鋼繩单位长度的重量, (公斤/米)

$L$  —— 鋼繩长(米)。

在确定了各种作用力之后, 亦就不难計算夾鉗各另件的强度。

另一种持重装置——弯鉤, 构造如图1-4, 錘头横杆悬挂在弯鉤的弯曲下端部, 当提升时, 錘头横杆中心在通过弯鉤悬挂鋼繩点的垂直线上, 弯鉤支持横杆的下端部呈水平, 錘头对弯鉤旋轉軸无轉动力矩产生, 所以錘头停留在弯鉤上。在弯鉤的另一端系一鋼繩, 工人拉鋼繩, 弯鉤轉动, 支持横杆的弯鉤下端部开始傾斜, 直到下滑分力  $T$  大于摩擦力  $F$  时, 錘头即自弯鉤上滑下。

使弯鉤轉动牵引鋼繩的力計算如下:

当弯鉤轉动时, 支持錘头横杆的下端部呈傾斜状, 錘头重  $G$  分解为两个力  $T$  与  $N$ :

$$T = G \sin\alpha; \quad N = G \cos\alpha$$

分力  $T$  力图克服摩擦力  $F$  使錘头滑下。但弯鉤必須轉动某一角度  $\alpha$  而分力  $T$  等于或大于摩擦力时  $F$ , 錘头才开始从弯鉤上滑下。

$$F = N\mu = \mu G \cos\alpha$$

式中:  $\mu$  —— 滑动摩擦系数。

当錘头开始滑落时,  $T \geq F$

$$\text{即 } G \sin\alpha \geq \mu G \cos\alpha$$

$$\text{移項 } \tan\alpha \geq \mu = \tan\rho \quad \text{即 } \alpha \geq \rho$$

式中:  $\rho$  —— 摩擦角

亦即当弯鉤的轉动角  $\alpha$  等于或大于摩擦角时, 錘头便开始下滑。

当弯鉤扭轉  $\alpha$  角时, 必須克服力图把弯鉤恢复原位的錘头重力力矩, 該力矩等于:

$$M = Ga = G\gamma \sin\alpha$$

式中:  $a, \gamma$  —— 見图1-4

由鋼繩拉力  $P$  所形成之力矩

$$M_1 = Pl \cos(\alpha + \beta)$$

式中:  $l$  —— 見图1-4;  $\beta$  —— 鋼繩与垂直方向之夹角。

为使弯鉤迴轉, 則  $M_1 \geq M$  即

$$Pl \cos(\alpha + \beta) \eta \geq G\gamma \sin\alpha$$

式中:  $\eta$  —— 弯鉤迴轉效率。

$$\text{則 } P = \frac{G\gamma \sin\alpha}{l \cos(\alpha + \beta) \eta}$$

考虑到鋼繩自重, 則鋼繩末端拉力为

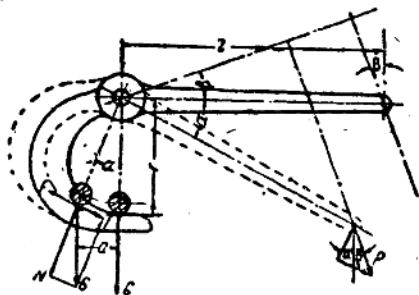


图 1-4

$$Z = P - qL \operatorname{ccs}\beta$$

### 3. 落錘提升卷揚

落錘用卷揚的結構型式極多，基本上與一般起重絞車相同，並不複雜。

落錘卷揚不僅用於提升錘頭，並且還用於收拾廢件，或提升其它重量較小的物件。提升錘頭時，由於錘頭重量很大，若速度很大，必需要較大容量的電動機。作其它輔助工作時，由於提升負荷小，若仍以提升錘頭的速度進行工作，電動機的功率就不能有效地利用，相應地生產能力沒有充分發揮，所以落錘卷揚採用兩種不同的提升速度較為合理。

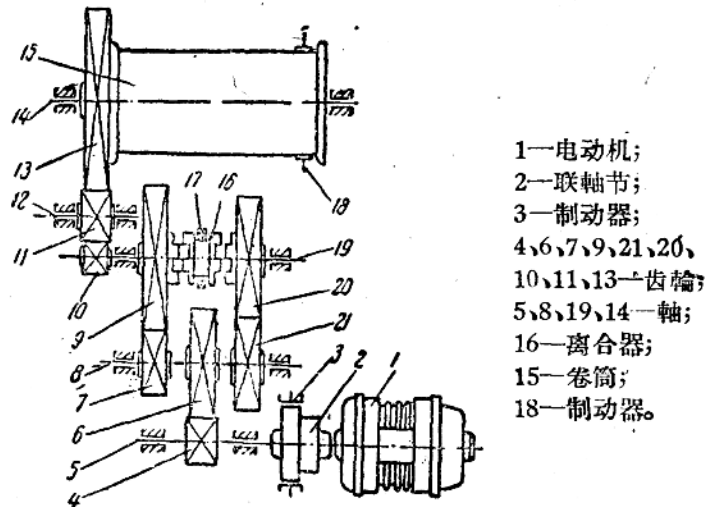


图 1-5

图 1-5 所示为具有双提升速度的落錘卷揚。

提升錘頭時，電動機 1 經彈性聯軸節 2，傳動軸 5，再經齒輪對 4，6 傳動軸 8，軸 8 上按有齒輪 7 和 21，齒輪 9 與 20 滑套在軸 19 上，分別與齒輪 7 和 21 相咬合，並與半離合器相固定；離合器 16 借滑鍵與軸 19 相聯，並藉叉形接頭 17 的傳動沿軸向移動。提升錘頭時，將離合器 16 與齒輪 9 的半離合器相聯結，從而傳動軸 19，再經過齒輪 10，11，13 傳動卷筒 15。當提升錘頭到塔頂，制動器 3 制動，打開夾鉗或轉動彎鉤使錘頭自由下落。夾鉗或彎鉤的下降，是使離合器 16 脫離齒輪 9 後處於中間位置，鬆開制動器 18，借自重下降；下降速度與終點制動亦藉腳踏制動器 18 進行控制。

提升較小負荷時，使離合器 16 與齒輪 20 的半聯軸節聯結，傳動卷筒。由於齒輪對 20，21 的速比小於齒輪對 7，9 的速比，因此可以較大速度提升負荷。

當用雙速絞車代替普通絞車時，塔式落錘的生產能力由於輔助動作時間的縮短而提高 15—20%。此外，由於夾鉗或彎鉤在電動機切斷時藉自重下落，還可以節約電能，所以雙速卷揚是值得利用的。

卷揚機件的強度計算和電動機容量的確定，均用起重運輸設備課程中所介紹的方法

进行。

#### 4. 砧垫和基础

最简单的砧垫，用大块凝固钢或废的大钢锭打入土中。这种砧垫的建筑不论在费用上或者在时间上都较经济节约，适宜于中小型炼钢车间设置。但对松软的土壤是不适宜的，因为凝固钢工作后会逐渐沉陷于土中，为了正常工作，须继续增添凝固钢，这样会增加大量钢的消耗。

在具有中等结实度的土壤中，可采用以某种方法捣实的砂子垫在砧垫的底下作为垫座。如图 1-6，挖一地坑，在坑内填实砂子，作为砧垫的垫座。砂层厚度视锤头重量决定，3 吨以下锤头，厚度为 0.5~1 米；3 吨以上为 1~2 米或更多。在砂层上铺以废钢锭或大块凝固钢，其厚度为 0.8~1 米。

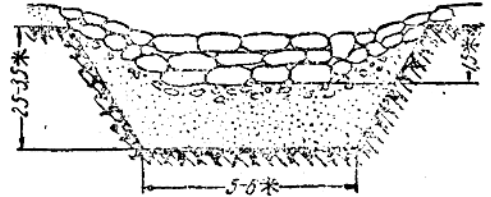


图 1-6

上述两种砧垫的缺点是：(1) 落锤的效率低，锤头落下时的动能，大量消失于地基的振动，及钢块之间的相对摩擦（因组成砧垫的钢块受冲击会有不同的运动速度）。(2) 地基的振动大，对周围的建筑物造成不利影响。

在大型破碎车间，为提高落锤效率，减少地基振动，采用了块式砧垫及基础。如图 1-7 为现代锤头重 10 吨，提升高度 30 米的落锤砧垫和基础。在深 9 米的坑底上铺以厚 3 米的矿渣混凝土。在矿渣混凝土上筑有钢筋混凝土基础。因为锤头落在砧垫上时，基础须承受很大的冲击负荷。所以应采用高强度的混凝土来建造基础。重达 100 吨的整体钢砧垫用地脚螺丝固定在上层基础上。在砧垫与上层基础之间有一层厚 750 毫米的砂子碎石弹性垫。弹性垫虽然会消失一部分锤头的动能，但它可提高混凝土基础的寿命，降低地基的振动。

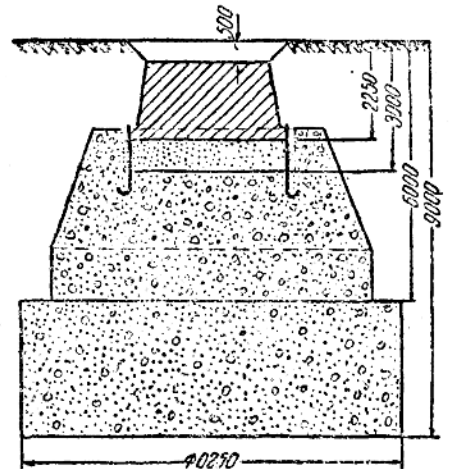


图 1-7

按撞击理论，破碎时锤头的动能一部分用于破碎砧垫上的废钢铁，这部分是有效功；另一部分消耗于砧垫、基础和锤头的弹性变形和弹性振动上，这部分是能量损失。

消耗在废件破碎上的能量，（即有效功），可由下式确定：

$$A = (1 - k^2) \times \frac{m_1 m_2}{m_1 + m_2} \times \frac{(U_1 - u_1)^2}{2}$$

式中：  $k$  —— 冲击恢复系数 (0.6~0.7)；

- $m_1$ ——錘頭質量， 公斤—秒<sup>2</sup>/米；  
 $m_2$ ——砧墊和基礎質量總和， 公斤—秒<sup>2</sup>/米；  
 $U_1$ ——錘頭與廢件剛接觸時運動速度， 米/秒；  
 $u_1$ ——錘頭在沖擊後的運動速度， 米/秒。

將上式的分子分母均除以  $m_2$ ， 可得：

$$A = (1 - k^2) \times \frac{m_1}{\frac{m_1}{m_2} + 1} \times \frac{(U_1 - u_1)^2}{2}$$

從上述可以看出， 隨著砧墊和基礎的質量總和增大， 分母變小， 分子保持不變， 即分數值變大。 由此可見， 當增大砧墊和基礎質量後， 可更好的利用錘頭下落時的動能以破碎廢件； 而且還可減弱基礎在沖擊後的振動。

塔式落錘是一種簡單的落錘裝置， 其建築投資亦較低。

塔式落錘的特點如下：

1. 生產能力低；
2. 需要用鐵路蒸汽起重機進行裝卸工作；
3. 懸掛錘頭的方法運用不方便。

故適用於中小型的工廠中。 在規模大的工廠中， 都採用了現代化的， 生產能力高的吊車式落錘。

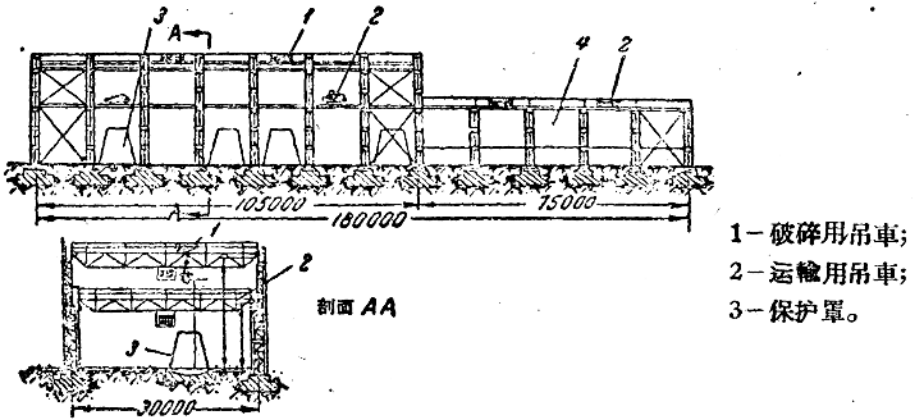


圖 1-8

## 二、吊車式落錘。如圖 1-8 所示。

起重機柱架包括兩段， 一段有一層起重機軌道， 另外一段有二層起重機軌道。 上層起重機軌道標高 20~25 米， 為提錘頭破碎廢件用； 下層起重機軌道標高 15~20 米， 為裝卸廢件或破碎強度較弱的平爐渣用。 在起重機下面， 順着車間鋪設 2~3 條軌道， 用以對車間供給不合尺寸廢件和收集已破碎廢件。 在開敞式的吊車式落錘車間廠房， 沿着支柱都用鉸掛圓木製成的防擴牆， 以防破碎廢件逸出傷人。

錘頭為鑄鋼的圓球， 提升錘頭， 以及裝料和收集已破碎廢件等作業均用起重機帶電磁鐵來進行。 電磁鐵需要直流電， 這就需要添設電氣設備。

吊車式落錘与塔式落錘的基本区别在于，前者破碎廢件不是在一個面积很小的砧墊上进行，而是在几个砧墊上或沿厂房所筑的一条长砧墊上連續进行。当一处在破碎不合尺廢件时，另一处在收集已破碎廢件，而第三处則准备破碎材料。而后者則是間歇式。

吊車式落錘的优缺点：(1)由于生产时，能在几个砧墊上同时进行破碎、鋪料、收集成品的不同工作，又由于电磁鉄抓取錘头方便迅速。因此，生产率高，为塔式的3~7倍，设备的利用率亦高。(2)錘头提升高度較低(18.5~23.5米)。这是由于高度增加，建筑投資将大大增加；其次，高度愈高，錘头命中廢鋼鉄堆的准确性降低；再因为提升高度太高，起重鋼繩会繞垂直方向扭轉。为增加錘头下降有效高度，故采用了凹下的砧墊。

## §1—2 折斷机

压断机主要用于軋鋼車間，直接在产生廢品的場所把廢品断成合尺品。冶金工厂的破碎車間也利用这种压断机。它适用于較大断面的鋼錠和鋼坯(大于200×200毫米)；对于这些廢鋼，火焰切割是不合适的，因为不仅需要較长的時間，而且需要耗用大量的氧气和燃料。用剪断机剪切，由于剪断机功率較小也不可能。用鋸机介体，需要較長時間和消耗較多能量。处理这些廢料最經濟的方法是用折断机介体，为便于折断而且在予定的端面处，事先用火焰切割法在鋼錠或鋼坯上切割一个缺口，以便折断时，增加缺口处的破坏应力。

折断机按傳动力分有电动的和液压或蒸汽——液压折断机。

### 一、折断机結構及工作：

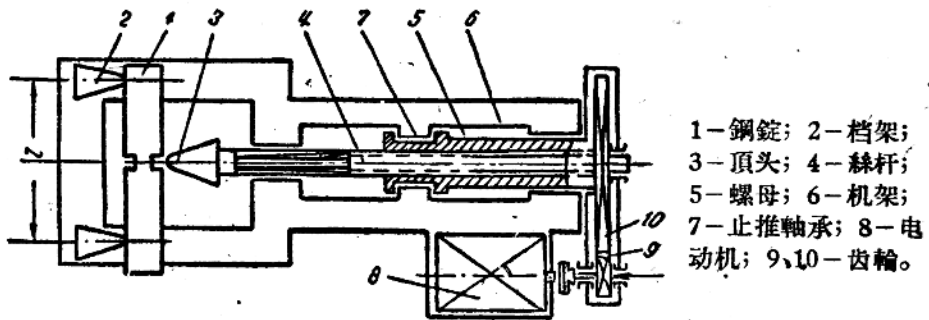


图 1-9

图1-9为电动式折断机，有切口的鋼錠1支承在擋架2上，切口对准楔形頂头3，頂头3安装在絲杆4的方形尾端，絲杆4旋进螺母空心軸5內，絲杆4的方形尾端套在机架6的方孔內，以限止它旋轉。空心軸5安装在止推軸承7上，以限止它的軸向移动。电动机通过齒輪对9和10驱动空心軸5轉，空心軸迴轉时，絲杆4即帶頂头前进与后退。

图1-10为蒸汽——液压式折断机。鋼錠1紧紧地装在固定擋架2上，而其切口对准楔形頂头3。为折断鋼錠所必需的作用力系依靠用泵打入工作缸5中的液体对柱塞4

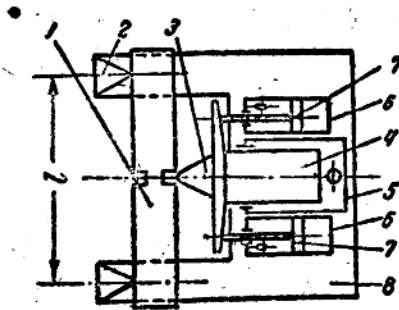


图 1-10

的压力所产生。顶头3和柱塞4的返回运动借助于返回汽缸6来实现。汽缸6内通以蒸汽，对活塞7产生压力。在把蒸汽通入返回汽缸的同时，转动液压缸5的分配阀，使液体借柱塞的返回运动由这一缸排出至液压箱。液压缸、汽缸和固定搭架均装置在公共构架8上，此架平衡了折断机在工作时所发生的全部作用力。

二、折断力的确定：对于钢和生铁是不相同的。如图1-11 废件受一集中折断力  $P$  的作用，在力作用的断面上，产生一最大弯矩。

$$M_{\max} = \frac{pl}{4}$$

对于生铁废件，在此弯矩作用下，当断面上最大应力达到破坏应力  $\sigma_B$  时，废件即开始折断。则此时的破坏力矩为：

$$M = \sigma_B W$$

式中：  $W$  —— 废件的抗弯矩，

由于  $M_{\max} = M$  则得：

$$P = \frac{4\sigma_B W}{l}$$

对于钢废件，由于钢有塑性，它必须在最大弯矩断面上各点应力都达到破坏极限  $\sigma_B$  时，才开始折断，同时钢对应力集中有敏感，应力集中对折断是有利的因素，因此，钢的破坏力矩为：

$$M = \frac{1}{K} \sigma_B \cdot S$$

式中：  $K$  —— 应力集中系数（取1.5~2）；

$S$  —— 塑性抗弯矩。

$$\text{矩形断面： } S = \frac{bh^2}{4}$$

$$\text{圆形断面： } S = 0.17d^3$$

由于  $M = M_{\max}$ ， 则得：

$$P = \frac{4\sigma_B \cdot S}{K \cdot l}$$

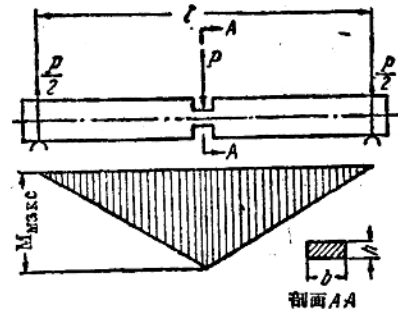


图 1-11

根据折断力即可即行机件的强度计算和驱动功率的计算。

### § 1—3 打包机

打包过程就是把松散金属废料压坚实，提高其堆比重。需要打包的金属废料为薄板切边、其它一些厚度不大的板状生产废料、废钢丝以及薄板制品废件等。利用这类废钢铁作为平炉原料，如果不予先经过加工，就必然会造成一系列的困难：

1. 堆比重很小的原料，需要大量的车皮来运输，这样就增加了运输费。
2. 这种材料在贮存时必然要占据很大的面积并把贮料场阻塞，这在封闭式贮料场的情况下尤其感到严重。当把它们堆置在露天时，由于表面太大它们又会很快的氧化。
3. 电磁铁在装卸轻型的废钢铁时的载重量要小得多。显著的降低起重机的生产能力。
4. 把未经打包的轻型废钢铁装炉，装料时间增长，炉子散热量增加，使炉子生产率降低。
5. 未经打包的轻型废钢铁以熔炼所需的重量装于炉内时，需占据很大的炉床体积。致使火焰偏向炉顶有烧化炉顶的危险，这样就不得不把炉子保持在较低的热状态下，从而使熔化时间延长。
6. 轻型废钢铁的表面较大，非常容易氧化，形成氧化微粒被烟气带到烟道和蓄热室。这不仅损失了金属，而且堵塞了烟道。

打包机按结构分有：(1)二压头式；(2)三压头式(后者应用较广)。三压头打包机从三个方向进行压缩如图 1-12。

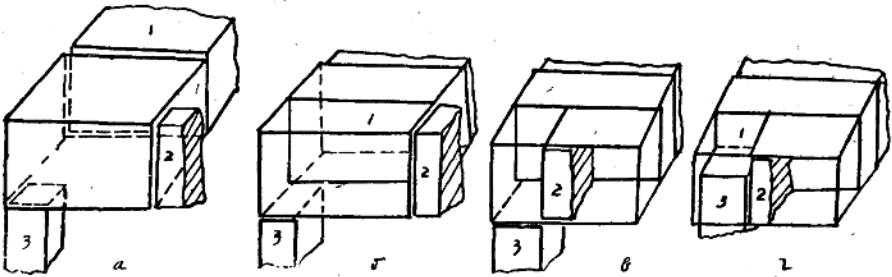


图 1-12

按驱动分为：(1)电力驱动；(2)液压驱动。

#### 一、电力驱动的打包机

图 1-13 所示为电动打包机构造图，它有工作箱；箱盖；一个正面压头；二个侧面压头及二个推出冲头组成。图 1-14 为其示意图，当工作箱 1 内装满废金属后，盖上箱盖，首先动压机构工作，电机 8 经减速箱 9 传动丝杆 10，丝杆支承在有止推轴承和径向轴承 11 上。滑架 12 有青铜螺母 13，螺母 13 旋在丝杆 10 上，丝杆转动，即带动滑架 12 沿丝杆轴向移动，滑架用联杆 7 与初压头 2 (即正面压头) 的凸耳 4 铰接。电动机 8 工作后，即使初压头压缩金属废料。初压头压至终点(图上虚线位置)后，二个侧面压头 3 (终压机构)，经电动机减速箱借螺母丝杆 (8 和 6) 传动，作相向运动压缩金属。压缩終了，打开箱盖，压头 2 及 3 返回原位，金属包藉推出冲头 5 推离工作箱后壁，然后用起重机

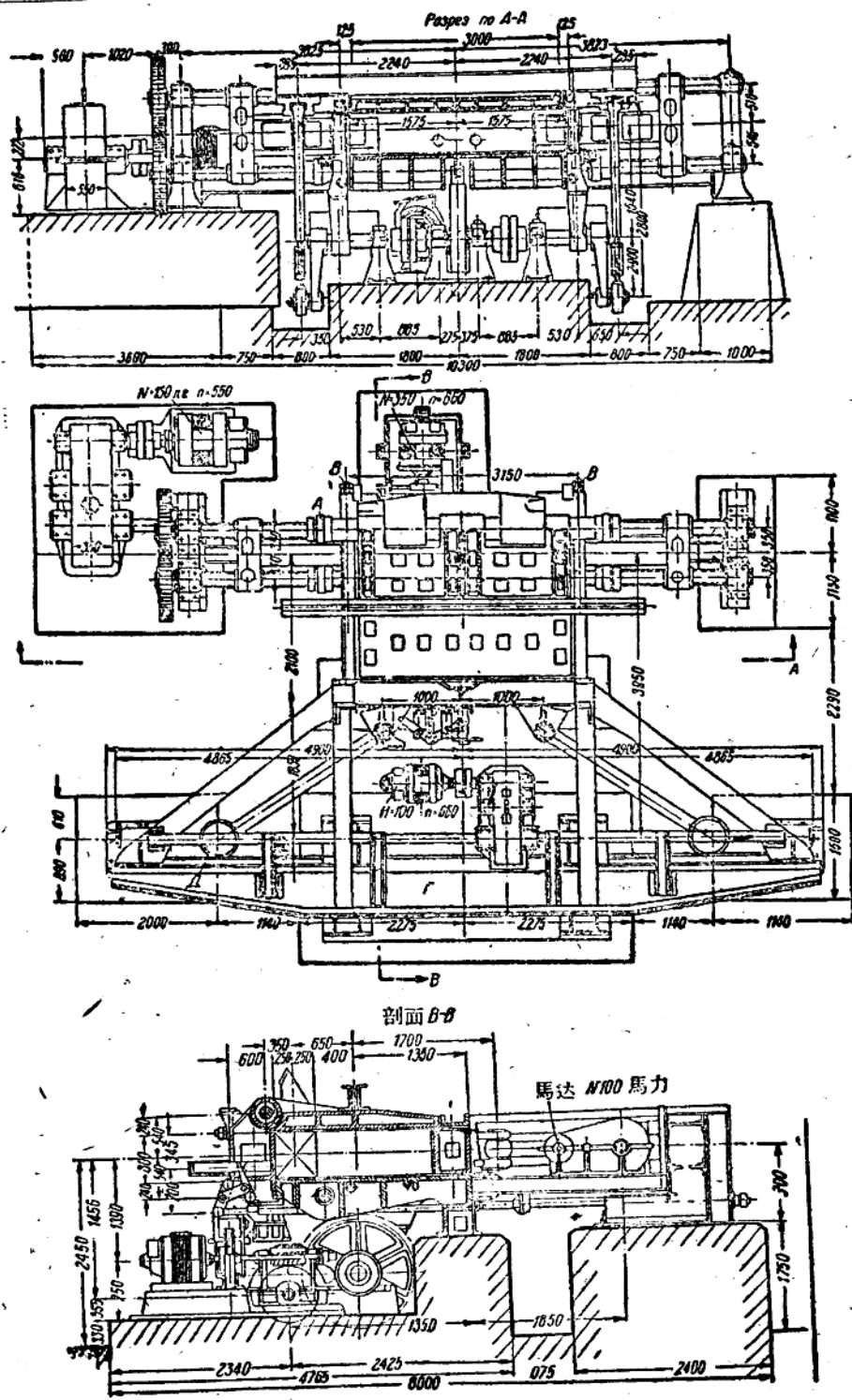
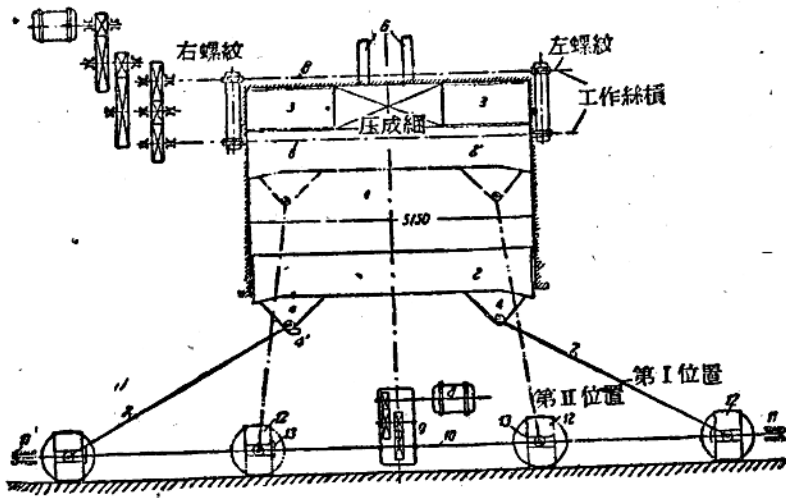
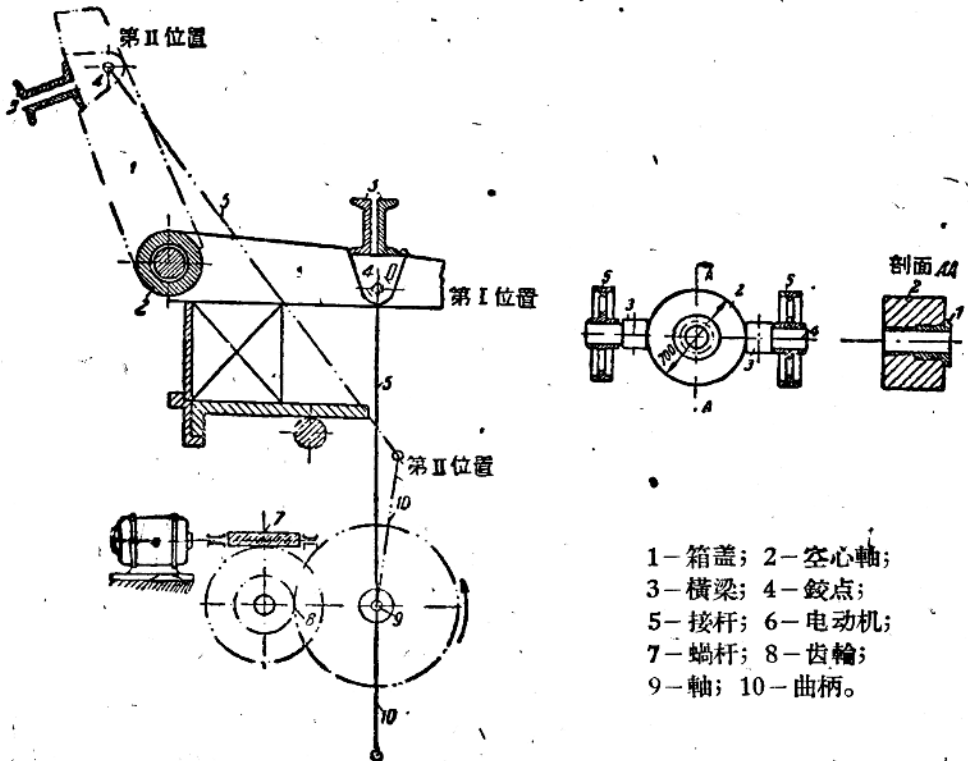


图 1-13



- 1-工作箱;
- 2-初压头;
- 3-侧面压头;
- 4-凸耳;
- 6-辅助压头;
- 7-连杆;
- 8-电动机;
- 9-减速箱;
- 10-轴;
- 11-轴承;
- 12-滑架;
- 13-螺母。

图 1-14



- 1-箱盖;
- 2-空心轴;
- 3-横梁;
- 4-铰点;
- 5-接杆;
- 6-电动机;
- 7-蜗杆;
- 8-齿轮;
- 9-轴;
- 10-曲柄。

图 1-15

将金属包运走。

頂盖是一箱形断面鑄鋼件，它的傳动机构如图 1-15。頂盖 1 固定在立心軸 2 上，頂盖由电动机 8 蜗杆蜗輪減速箱 7 正齿輪 8，9 及曲柄 10，联杆 5 傳动。联杆 5 鉸結在固定于頂盖上的橫梁 3 上的凸耳 4 上。頂盖可以迴轉 $120^{\circ}$ 。

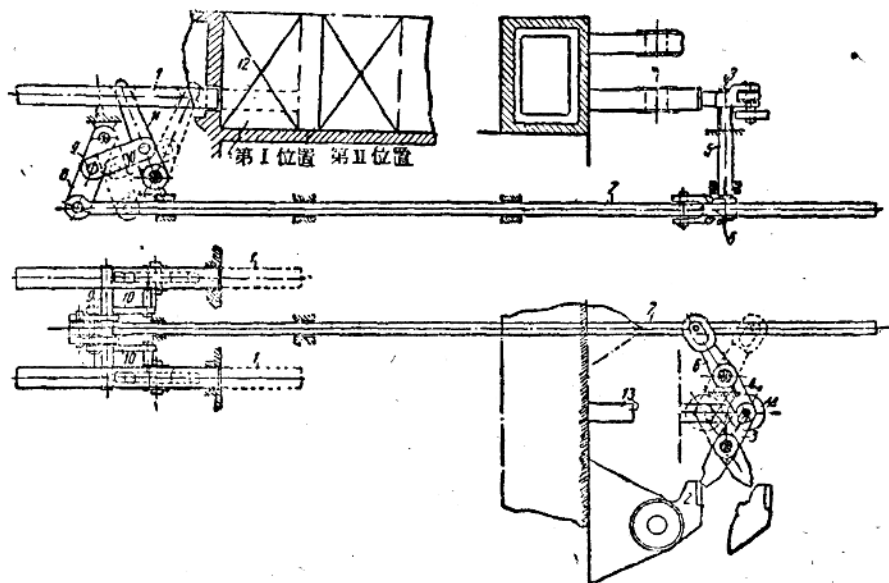


图 1-16

推出机构将金属包推离后壁，以便电磁铁吸取，其机构如图 1-16。槓杆 3 繞中間支点可迴轉，一端有槽，与槓杆 4 相联，槓杆 4 固定在立軸 5 上端，立軸 5 下端固定着槓杆 6，槓杆 6 另一端有槽与联杆 7 相联。联杆 7 通过工作箱底部，与槓杆 8 联結，再經拉杆 10 槓杆 11 和冲头 1 相联系。正面压头后面有凸块 2 与 13，当正面压头返回时，凸块 2 先推动槓杆 3 迴轉，从而經過 4，5，6，7，8，9，10，11 傳动冲头 1 通过后壁的孔推金属包 12 前移。当凸块 2 与 13 脱离后，凸块 13 与槓杆 3 及 4 鉸結处的滚輪 14 相接触，推动槓杆系統返回原来位置。

打包机工作箱的容积  $V_k$  为  $3.15 \times 1.9 \times 0.6 = 3.6$  公尺<sup>3</sup>。压成包的容积  $V_n$  为  $0.5 \times 0.6 \times 1.2 = 0.36$  公尺<sup>3</sup>。容积压缩比  $V_k : V_n = 10$ 。

## 二、液压驱动的打包机

打包机为了压缩松散另碎廢鋼，提高其堆比重，所以需要很大的压力。但是这种大压力的产生和承受，若利用机械驱动的方法，則驱动机构相当龐大，亦即設備重量較大。同时在打包过程中很可能产生的阻塞現象，对机械驱动方式來說亦是很不利的。因而現在采用液压驱动的方案較多。图 1-17 所示为鞍鋼所用 ПГ—400 打包机立体图。